AVTOMATİKA, RABİTƏ VƏ İNFORMASİYA TEXNOLOGİYALARI

Kompüter qurğuları və texnologiyası

№ 1/2026 səh. 44 - 56

https://doi.org/10.30546/670832.2026.013.1016

360° DAVAMLI FIRLANAN SERVO ÜÇÜN DÖRD İŞIQ SENSORLU İZLƏMƏ SİSTEMİNİN MODELLƏŞDİRİLMƏSİ VƏ İDARƏETMƏNİN SABİTLİYİNİN TƏMİN EDİLMƏSİ

Aslanova Ayşən Əli qızı
aysheneli14@gmail.com
Azərbaycan Texnologiya Universiteti

Xülasə. *Avtomatik izləmə sistemləri müasir robototexnika, günəş enerjisi qurğuları, ağıllı müşahidə sistemləri və sənaye avtomatlaşdırılması sahələrində geniş tətbiq olunur. Bu sistemlərin əsas məqsədi xarici mühitdən daxil olan informasiyaya əsasən obyektin və ya qurğunun istiqamətini optimal şəkildə tənzimləməkdən ibarətdir. Məqalədə dörd işıq sensoru (LDR) əsasında işləyən və 360° davamlı firlanma imkanına malik servo mühərriklə idarə olunan işıq izləmə sisteminin riyazi modeli təqdim edilmişdir. Sistem daxilində işıq intensivliyi fərqindən istifadə edilərək səhv siqnalı formalaşdırılır və servo mühərrikin idarə olunması təmin edilir.*

Tədqiqat çərçivəsində sistemin giriş-çıxış əlaqələri analiz edilmiş, diferensial tənliklər vasitəsilə riyazi model qurulmuş və qapalı dövrəli idarəetmə strukturu yaradılmışdır. Servo sistemin stabilliyinin qiymətləndirilməsi üçün xarakteristik tənlik, qütblərin yerləşməsi və Routh-Hurwitz meyarı tətbiq edilmişdir. Aparılmış təhlillər göstərmişdir ki, düzgün seçilmiş idarəetmə parametrləri zamanı sistem yüksək dayanıqlılıq, aşağı keçid müddəti və minimal stasionar xəta nümayiş etdirir.

Əldə edilən nəticələr göstərir ki, təklif olunan yanaşma aşağı qiymətli komponentlərdən istifadə etməklə yüksək dəqiqlikli izləmə sistemlərinin yaradılmasına imkan verir və günəş panellərinin avtomatik istiqamətləndirilməsi kimi tətbiqlərdə effektiv həll hesab oluna bilər.

Açar sözlər: *işığa həssas rezistor sensoru, davamlı firlanan servo, Arduino uno, Fotoqalvanik(PV), riyazi modelləşdirmə, avtomatik tənzimləmə.*

Giriş

Son illərdə sənaye və texnologiyaların sürətli inkişafı nəticəsində qlobal enerji tələbatı davamlı olaraq artmaqdadır. Ənənəvi enerji mənbələrinin hasilatı və istifadəsi zamanı böyük həcmdə istixana qazlarının emissiyası baş verir ki, bu da qlobal istiləşmə və iqlim dəyişikliklərinin əsas səbəblərindən biridir [1]. Bu səbəbdən bərpa olunan enerji mənbələrinin, xüsusilə günəş enerjisinin tətbiqi dünya miqyasında geniş tədqiqat mövzusuna çevrilmişdir.

Günəş enerjisi ekoloji cəhətdən təmiz, tükənməz və davamlı enerji mənbəyi kimi ən perspektivli alternativlərdən biri hesab olunur [2]. Bir çox inkişaf etmiş ölkələrdə fotoqalvanik (PV) sistemlər vasitəsilə elektrik enerjisi istehsalının dəyəri artıq fosil yanacaq əsaslı enerji istehsalı ilə rəqabət aparacaq səviyyəyə çatmışdır [4]. Bu texnologiyanın sürətli yayılmasının əsas səbəbləri arasında aşağı quraşdırma xərcləri, minimal texniki xidmət tələbləri və sistem komponentlərinin sadə inteqrasiyası mühüm yer tutur.

Fotoqalvanik (PV) hüceyrə günəş radiasiyasını birbaşa elektrik enerjisinə çevirən yarımkeçirici elementdir. Elmi ədəbiyyatda bu anlayış həm “solar cell”, həm də “photovoltaic cell” kimi istifadə olunur [5]. Bərpa olunan enerji texnologiyalarının inkişafı ilə bağlı aparılan araşdırmalar göstərir ki, bu sistemlər həm ekoloji, həm də iqtisadi baxımdan daha dayanıqlıdır [6].

Günəş radiasiyasının intensivliyi günün saatına, fəsillərə və coğrafi mövqeyə görə dəyişir. Bu dəyişikliklər sabit yerləşdirilmiş PV panellərin səmərəliliyini əhəmiyyətli dərəcədə azaldır. Sabit sistemlər günəş şüalarını yalnız müəyyən bucaq altında qəbul etdiyindən, maksimum enerji əldə etmək mümkün olmur. Buna görə də günəş izləmə sistemlərinin (solar tracking systems) tətbiqi zəruri hesab olunur.

Bu tədqiqatda 360° davamlı fırlanan servo mühərrik və dörd işıq sensoruna (LDR) əsaslanan günəş izləmə sistemi təqdim olunur. Sistem iki oxlu mexaniki strukturdan fərqli olaraq, servo əsaslı davamlı fırlanma imkanı ilə daha çevik və sadələşdirilmiş idarəetmə arxitekturasına malikdir.

Dörd LDR sensorunun istifadəsi sistemə daha yüksək istiqamətlənmə dəqiqliyi qazandırır. Sensorlar işıq intensivliyini müxtəlif istiqamətlərdən ölçərək günəşin mövqeyini daha dəqiq müəyyən etməyə imkan verir. Bu siqnalların müqayisəsi nəticəsində yaranan xəta (error) aşağıdakı kimi ifadə olunur:

$$e(t) = \left(S_{şərq} - S_{qərb}\right) + (S_{şimal} - S_{cənub})$$

Bu fərq əsasında mikrokontroller tərəfindən PWM siqnalı formalaşdırılır və 360° servo mühərrikin fırlanma sürəti və istiqaməti tənzimlənir.

Sistemin idarəetmə strukturu qapalı dövrə (closed-loop control system) prinsipi ilə işləyir. Bu struktur sensor blok, idarəetmə bloku (mikrokontroller), aktuator (servo mühərrik) və enerji təchizatı hissələrindən ibarətdir. Sistem real vaxt rejimində günəşin hərəkətini izləyərək optimal enerji toplanmasını təmin edir.

Əlavə olaraq, sistemdə ölü zona (deadband) mexanizmi və maksimum hədd (saturation limit) prinsipi tətbiq edilərək kiçik siqnal dəyişmələrindən yaranan titrəmələr azaldılır və mexaniki stabillik artırılır. Bu yanaşma servo mühərrikin davamlı və sabit işləməsini təmin edir.

Ədəbiyyat araşdırmaları göstərir ki, günəş izləmə sistemləri sabit PV panellərlə müqayisədə enerji istehsalını əhəmiyyətli dərəcədə artırır. Tək oxlu sistemlər təxminən 20–25%, iki oxlu sistemlər isə 30–40%-ə qədər əlavə enerji qazancı təmin edə bilir [11, 12]. Lakin bu sistemlərin mexaniki mürəkkəbliyi və yüksək xərcləri onların geniş tətbiqini məhdudlaşdırır.

Təklif olunan 360° servo əsaslı dörd sensorlu sistem daha sadə mexaniki struktur, aşağı enerji sərfi və yüksək adaptivlik imkanları ilə fərqlənir. Bu sistem xüsusilə məhdud sahəli qurğular, mobil platformalar və avtonom enerji sistemləri üçün effektiv həll kimi nəzərdə tutulmuşdur.

Beləliklə, təqdim olunan sistem günəş enerjisinin daha səmərəli istifadəsi, real vaxt izləmə dəqiqliyinin artırılması və aşağı qiymətli sensor əsaslı idarəetmə sistemlərinin inkişafı baxımından mühüm elmi və praktik əhəmiyyət daşıyır.

Sistemin konfiqurasiyası

Ağıllı ikioxlu günəş izləmə sisteminin əsas məqsədi günəşdən gələn şüaların fotoqalvanik (PV) panel səthinə mümkün qədər perpendikulyar istiqamətdə düşməsini təmin etməkdir. Bu yanaşma PV panel tərəfindən qəbul edilən günəş enerjisinin maksimum səviyyəyə çatdırılmasına və nəticədə elektrik enerjisi istehsalının artırılmasına şərait yaradır.

AVTOMATİKA, RABİTƏ VƏ İNFORMASİYA TEXNOLOGİYALARI

Kompüter qurğuları və texnologiyası

№ 1/2026 səh. 44 - 56

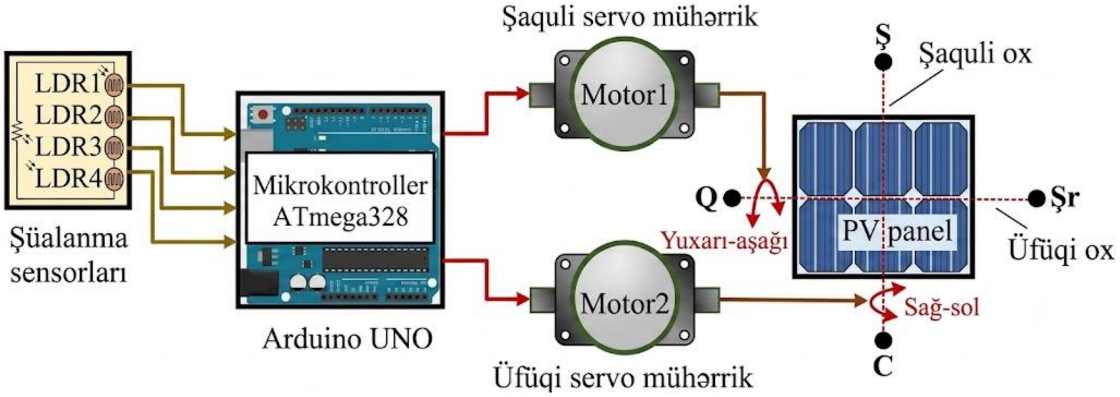

Şəkil 1. İki oxlu (Dual-axis) günəş izləmə sisteminin struktur blok sxemi.

Ağıllı ikioxlu günəş izləmə sisteminin funksional blok sxemi Şəkil 1-də təqdim edilmişdir. İzləmə mexanizminin fəaliyyəti Arduino UNO lövhəsində yerləşən ATMega328 mikronəzarətçisində icra olunan proqram təminatına əsaslanır. Sistemin idarəetmə mərkəzi rolunu oynayan ATMega328 mikronəzarətçisi işıq sensorlarından (LDR) daxil olan analoq siqnalları rəqəmsal məlumatlara çevirərək emal edir və nəticələrə uyğun olaraq iki çıxış kanalı vasitəsilə servo mühərrikləri idarə edir. Bu mühərriklər PV panelin mövqeyinin dəyişdirilməsini təmin edərək onun günəşə optimal istiqamətdə yönəlməsinə imkan yaradır.

Panelin hərəkəti iki müstəqil ox üzrə həyata keçirilir. Birinci ox üfüqi istiqamətdə hərəkəti təmin edir və panelin gün ərzində günəşin şərqdən qərbə doğru görünən hərəkətini izləməsinə xidmət edir (azimut izləmə). İkinci ox isə şaquli istiqamətdə tənzimlənərək ilin müxtəlif fəsillərində günəşin hündürlük bucağındakı dəyişiklikləri kompensasiya edir və panelin cənub–şimal istiqamətində hərəkət etməsinə imkan verir (elevasiya izləmə).

Təklif olunan ağıllı ikioxlu günəş izləmə sisteminin elektrik sxemi ISIS Proteus proqram mühitində hazırlanmış və Şəkil 2-də göstərilmişdir.

Həmin sxem Arduino UNO lövhəsi ilə sistemdə istifadə olunan sensorlar və icraedici mexanizmlər arasındakı elektrik əlaqələrini əks etdirir. Quraşdırılmış sistem (embedded system) yanaşmasına uyğun olaraq ağıllı DAST idarəetmə sistemi iki əsas komponentdən ibarətdir: aparat təminatı (hardware) və proqram təminatı (software). Aparat təminatı sensorlar, mikronəzarətçi və servo mühərriklər kimi fiziki elementləri əhatə etdiyi halda, proqram təminatı bu elementlərin koordinasiyalı fəaliyyətini təmin edən idarəetmə alqoritmlərindən və proqram kodlarından ibarətdir. Bu iki komponentin qarşılıqlı fəaliyyəti nəticəsində sistem günəşin mövqeyini dəqiq müəyyənləşdirərək PV panelin optimal bucaq altında yerləşdirilməsini təmin edir.

Aparat təminatı

Şəkil 1-də təqdim olunduğu kimi, ağıllı ikioxlu günəş izləmə sistemi bir neçə əsas aparat komponentindən təşkil edilmişdir. Bu komponentlərə fotoqalvanik panel (PV panel), günəş şüalanmasının intensivliyini müəyyən edən dörd ədəd işığa həssas müqavimət (LDR) sensoru, panelin hərəkətini təmin edən iki servo mühərrik və ATMega328 mikronəzarətçisi ilə təchiz edilmiş Arduino UNO idarəetmə lövhəsi daxildir. Həmin elementlərin qarşılıqlı fəaliyyəti nəticəsində sistem günəşin mövqeyini izləyərək PV panelin optimal istiqamətdə yerləşdirilməsini təmin edir.

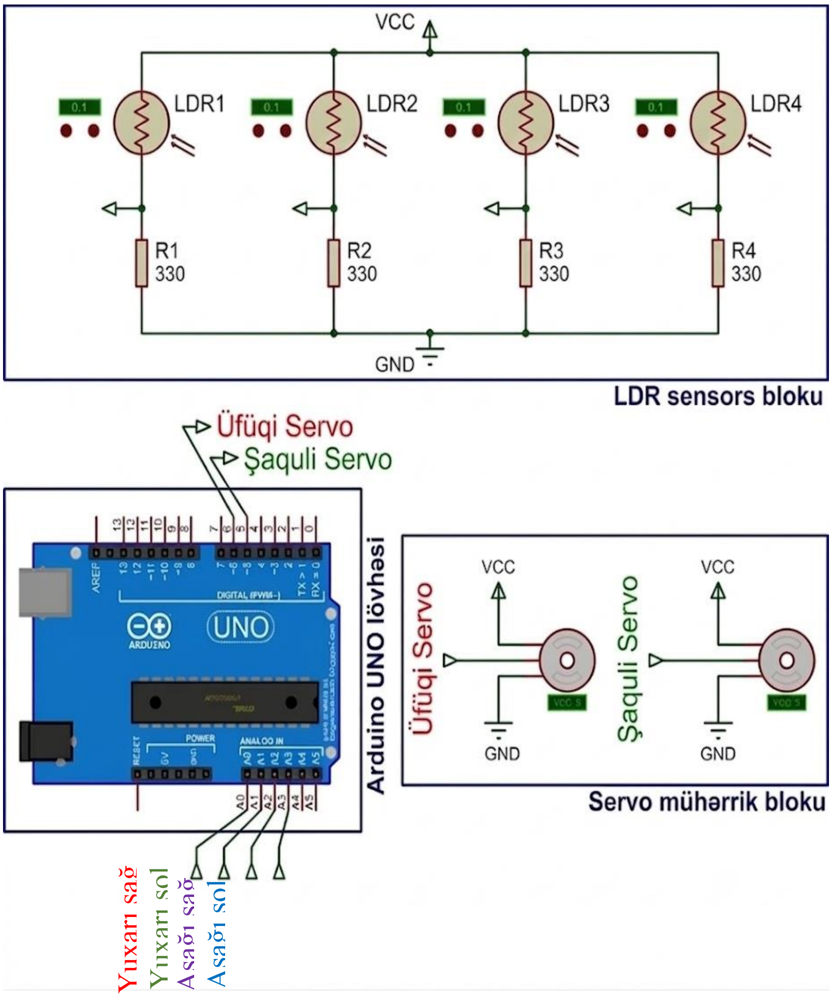

Şəkil 2. Ağıllı ikioxlu günəş izləmə sisteminin (DAST) ISIS Proteus proqram mühitində hazırlanmış elektrik sxemi

Fotoqalvanik panel

Fotoqalvanik panellər günəş radiasiyasını elektrik enerjisinə çevirmək üçün nəzərdə tutulmuş enerji çeviriciləridir. Bu qurğular yarımkeçirici materialların fotoelektrik xüsusiyyətlərindən istifadə etməklə günəş işığını sabit cərəyan (DC) formasında elektrik enerjisinə transformasiya edir. Tədqiqat çərçivəsində istifadə edilən PV panel maksimum 1,6 Vt çıxış gücü istehsal etmək qabiliyyətinə malikdir. Panelin kütləsi təxminən 47 qram, ölçüləri isə 150 mm × 86 mm təşkil edir. Qurğu nominal iş şəraitində 5,5 V səviyyəsində çıxış gərginliyi yaradır. Yüngül konstruksiyası və kiçik ölçüləri onu eksperimental günəş izləmə sistemlərində istifadə üçün əlverişli edir.

Arduino UNO lövhəsi

Təklif olunan günəş izləmə sisteminin iqtisadi səmərəliliyini artırmaq məqsədilə ATMega328 mikronəzarətçisinə əsaslanan aşağı qiymətli Arduino UNO platformasından istifadə edilmişdir. Bu lövhə sistemin əsas idarəetmə modulu kimi fəaliyyət göstərərək sensorlardan daxil olan məlumatları emal edir və icraedici qurğuların işini koordinasiya edir.

Şəkil 3-də göstərilən Arduino UNO lövhəsi həm USB interfeysi vasitəsilə, həm də xarici sabit cərəyan mənbəyindən qidalana bilir. Lövhə 14 ədəd rəqəmsal giriş-çıxış pininə malikdir ki, bunlardan 6-sı PWM (Pulse Width Modulation – impuls eninin modulyasiyası) siqnallarının generasiyası üçün istifadə oluna bilər. Bundan əlavə, qurğuda 6 analoq giriş kanalı mövcuddur ki, bu da müxtəlif analoq sensorların birbaşa qoşulmasına imkan yaradır.

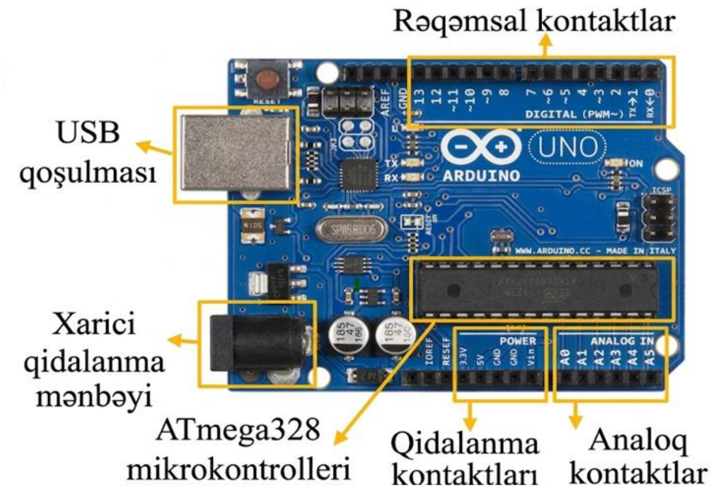

Şəkil 3. Arduino Uno board

Şəkil 2-dəki sxemə əsasən, sistemdə istifadə olunan dörd LDR sensoru Arduino UNO lövhəsinin A0, A1, A2 və A3 analoq giriş pinlərinə qoşulmuşdur. Bu sensorlar günəş işığının intensivliyi barədə məlumat toplayaraq mikronəzarətçiyə ötürür və sistemin giriş hissəsini təşkil edir. Eyni zamanda, PV panelin iki ox üzrə hərəkətini təmin edən servo mühərriklər PWM funksiyasına malik çıxış pinlərinə birləşdirilmişdir. Mikronəzarətçi tərəfindən formalaşdırılan PWM siqnalları servo mühərriklərin dönmə bucaqlarını tənzimləyərək panelin günəşə istiqamətləndirilməsini həyata keçirir. Beləliklə, Arduino UNO lövhəsi sensorlar və icraedici mexanizmlər arasında əlaqələndirici idarəetmə vahidi kimi çıxış edərək sistemin etibarlı və sinxron fəaliyyətini təmin edir.

Servo mühərriklər

Fotoqalvanik panellərin günəşin mövqeyinə uyğun olaraq avtomatik istiqamətləndirilməsi məqsədilə günəş izləmə sistemlərində müxtəlif növ elektrik mühərriklərindən istifadə edilir. Bu məqsədlə ən geniş yayılmış həllər sırasında sabit cərəyan (DC) mühərrikləri, addımlayıcı mühərriklər (stepper motor) və servo mühərriklər yer alır. Təqdim olunan tədqiqatda PV panelin iki ox üzrə hərəkətinin təmin edilməsi üçün 180° dönmə bucağına malik iki servo mühərrik tətbiq edilmişdir. İstifadə olunan servo mühərriklərin texniki xüsusiyyətləri Cədvəl 1-də verilmişdir.

Sistemin şaquli ox üzrə hərəkətini həyata keçirmək üçün SG90 tipli servo mühərrikdən, üfüqi ox üzrə hərəkəti təmin etmək üçün isə daha yüksək fırlanma momentinə malik MG996R mikro servo mühərrikdən istifadə olunmuşdur. Bu mühərriklər PV panelin günəşin mövqeyinə uyğun şəkildə dəqiq istiqamətləndirilməsinə imkan yaradır.

Servo mühərriklərin əsas üstünlüklərindən biri onların əvvəlcədən müəyyən edilmiş mövqelərə dəqiq şəkildə yerləşə bilməsi və həmin mövqeləri sabit saxlamaq qabiliyyətidir. Bu xüsusiyyət servo mühərriklərin qapalı dövrəli (closed-loop) idarəetmə prinsipi əsasında işləməsi ilə əlaqədardır. Servo mühərrik yalnız tələb olunan mövqeyə hərəkət etdiyi zaman enerji sərf edir, mövqe sabitləşdikdən sonra isə enerji sərfiyyatı minimum səviyyəyə enir. Addımlayıcı mühərriklərdən fərqli olaraq, servo mühərriklər mövqenin saxlanılması üçün davamlı enerji tələb etmir. Bu xüsusiyyət sistemin ümumi enerji səmərəliliyinin yüksəldilməsinə müsbət təsir göstərir.

Şəkil 4. Servo MG996R və Servo SG90

Servo mühərriklərin digər mühüm üstünlüyü onların sadə idarəetmə mexanizminə malik olmasıdır. Mühərrikin işə salınması, dayandırılması, dönmə istiqamətinin və mövqeyinin tənzimlənməsi mikronəzarətçinin PWM (Pulse Width Modulation – impuls eninin modulyasiyası) çıxışı vasitəsilə həyata keçirilir. Bu məqsədlə əlavə sürücü və ya interfeys sxemlərinin istifadəsinə ehtiyac qalmır ki, bu da sistemin həm quruluşunu sadələşdirir, həm də ümumi maya dəyərini azaldır.

Tədqiqatda istifadə olunan servo mühərriklər ATMega328 mikronəzarətçisi tərəfindən idarə olunur. Şəkil 4-də göstərildiyi kimi, mühərriklərin mikronəzarətçi ilə əlaqəsi üç naqildən ibarət elektrik kabeli vasitəsilə təmin edilir. Bu naqillərdən ikisi qidalanma gərginliyinin verilməsi üçün, üçüncü naqil isə PWM idarəetmə siqnalının ötürülməsi üçün istifadə olunur. Mikronəzarətçi tərəfindən generasiya edilən PWM siqnalları servo mühərriklərin dönmə bucağını müəyyən edir və nəticədə PV panelin həm azimut, həm də elevasiya oxları üzrə dəqiq hərəkəti təmin edilir. Bu yanaşma günəş şüalarının panel səthinə daha optimal bucaq altında düşməsinə və enerji hasilatının artırılmasına imkan yaradır.

Cədvəl 1. Sistemdə istifadə olunan servo mühərriklərin texniki xarakteristikaları

Parametrlər	**SG90 Mikro Servo (Şaquli Ox)**	**MG996R Yüksək Fırlanma Momentli Servo (Üfüqi Ox)**
İş gərginliyi	4.8 V – 6.0 V	4.8 V – 7.2 V
Fırlanma anı (Torque)	1.8 kg·cm (4.8V)	9.4 kg·cm (4.8V) / 11 kg·cm (6.0V)
İşləmə sürəti	0.12 saniyə / 60° (4.8V)	0.17 saniyə / 60° (4.8V) / 0.14 saniyə / 60° (6.0V)
Fırlanma bucağı diapazonu	0° – 180°	0° – 360° (Davamlı fırlanma modifikasiyası)
Çəkisi	9 qram	55 qram

Parametrlər	SG90 Mikro Servo (Şaquli Ox)	MG996R Yüksək Fırlanma Momentli Servo (Üfüqi Ox)
Ötürücü materialı	Plastik	Metal (Yüksək dayanıqlı)

LDR Sensorları

Təklif olunan ağıllı ikioxlu günəş izləmə sistemi (DAST) aktiv izləmə prinsipinə əsaslanır. Bu o deməkdir ki, sistemin hərəkəti günəşin cari mövqeyinə uyğun olaraq real vaxt rejimində tənzimlənir. Günəşin istiqamətinin müəyyən edilməsi məqsədilə sistemdə dörd ədəd işığa həssas müqavimət (LDR – Light Dependent Resistor) tipli Cds GL5528 sensorundan istifadə edilmişdir. Bu sensorların seçilməsinin əsas səbəblərindən biri onların aşağı qiymətli, sadə quruluşlu və etibarlı işləmə xüsusiyyətlərinə malik olmasıdır.

LDR sensoru üzərinə düşən işıq intensivliyindən asılı olaraq elektrik müqavimətini dəyişən passiv elektron elementdir. Sensor səthinə düşən işığın intensivliyi artdıqca onun müqaviməti azalır, işıq səviyyəsi azaldıqda isə müqavimət artır. Bu xüsusiyyət günəş radiasiyasının istiqamətinin və intensivliyinin müəyyən edilməsinə imkan yaradır.

LDR sensorlarının çıxış siqnalının əldə olunması üçün onlar gərginlik bölücü (voltage divider) sxemi şəklində qoşulmuşdur. Şəkil 5-də göstərildiyi kimi, LDR və sabit müqavimətin ardıcıl birləşməsi nəticəsində çıxış gərginliyi (V_{out}) formalaşır. LDR müqavimətinin işıq intensivliyinə uyğun dəyişməsi çıxış gərginliyinin də dəyişməsinə səbəb olur. Bu analoq gərginlik siqnalı Arduino UNO lövhəsində yerləşən ATMega328 mikronəzarətçisinin analoq-rəqəmsal çeviricisi (ADC) tərəfindən emal edilir.

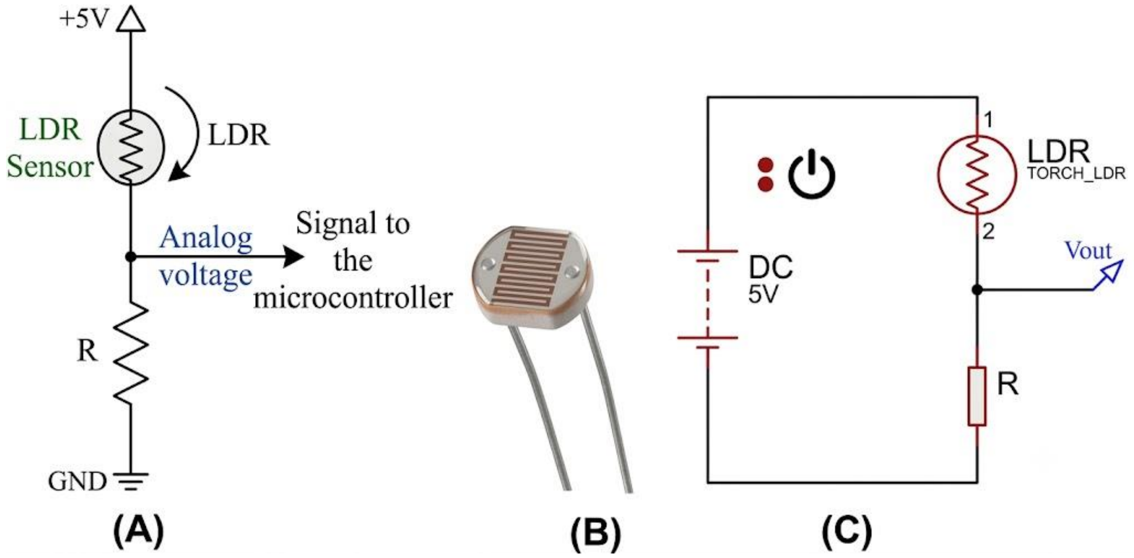

Şəkil 5. LDR sensorunun elektrik sxemi: (A) mikronəzarətçiyə qoşulma quruluşu, (B) işığa həssas müqavimət (LDR) sensoru və (C) ISIS Proteus proqramında modelləşdirilmiş LDR sensor dövrəsi

ATMega328 mikronəzarətçisinin 10 bitlik ADC modulu daxil olan analoq siqnalı 0–1023 diapazonunda rəqəmsal qiymətə çevirir. Alınan rəqəmsal məlumatlar əsasında işıq intensivliyinin səviyyəsi müəyyən edilir və günəşin mövqeyi haqqında məlumat əldə olunur. Bu məlumatlar sonradan servo mühərriklərin idarə edilməsində istifadə edilir.

Ağıllı ikioxlu günəş izləmə sistemində LDR sensorlarının yerləşdirilməsi

Günəşin həm üfüqi, həm də şaquli istiqamətlərdə izlənilməsi üçün LDR sensorları müxtəlif konfiqurasiyalarda yerləşdirilə bilər. Ən geniş yayılmış üsullardan biri dörd kvadrantlı LDR sensorlarının silindrik kölgələndirici ilə birlikdə istifadəsidir. Bu halda sensorlar arasında yaranan işıq intensivliyi fərqi əsasında PV panelin mövqeyi tənzimlənir və bütün sensorların oxşar işıq qəbul etdiyi vəziyyət optimal istiqamətlənmə kimi qəbul edilir.

Digər konfiqurasiyada isə dörd LDR sensoru iki ayırıcı maneə ilə ayrılır. Sensorların ölçdüyü işıq intensivlikləri müqayisə edilərək günəşin mövqeyi müəyyən olunur və panel uyğun istiqamətə yönəldilir.

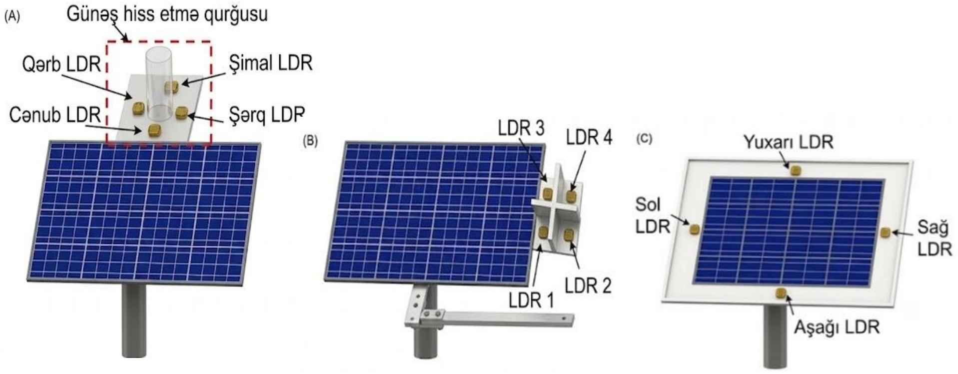

Şəkil 6. LDR sensorları əsasında müxtəlif Günəş izləmə sistemlərinin dizaynları

Beləliklə, LDR sensorlarının düzgün yerləşdirilməsi günəş izləmə sisteminin dəqiqliyini artırır və PV panelin günəş şüalarına optimal bucaq altında istiqamətləndirilməsini təmin edərək enerji istehsalının səmərəliliyini yüksəldir.

Sistemin Riyazi Modelləşdirilməsi və İdarəetmə Strukturu

Ağıllı ikioxlu günəş izləmə sisteminin dinamik xarakteristikalarını analiz etmək və onun stabil işləməsini təmin etmək üçün sistemin riyazi modelinin qurulması zəruridir. Qapalı dövrəli (closed-loop) tənzimləmə sistemi dörd əsas dinamik blokdan ibarətdir: sensor bloku, idarəetmə bloku (PID/Mikronəzarətçi), aktuator (servo mühərrik) və idarəetmə obyekti (mexaniki platforma və PV panel).

LDR Sensor Blokunun Riyazi Modeli

LDR sensorları işıq intensivliyini (I) elektrik müqavimətinə (R_{LDR}) çevirir. Gərginlik bölücü sxemdən alınan çıxış gərginliyi (V_{out}) mikronəzarətçinin ADC moduluna daxil olur. Sensorun qeyri-xətti xarakteristikası işçi nöqtə ətrafında xəttiləşdirildikdə, sensor blokunun ötürmə funksiyası sabit bir gücləndirmə əmsalı (K_s) kimi ifadə edilir:

$$G_s(s) = \frac{V_{out}(s)}{\Delta I(s)} = K_s$$

burada ΔI, qarşıqlıqlı yerləşən sensorlar arasındakı işıq intensivliyi fərqini (xəta siqnalını) təmsil edir.

360° Davamlı Fırlanan Servo Mühərrikin Ötürmə Funksiyası

Davamlı fırlanan servo mühərrik, adi servolardan fərqli olaraq, daxili potensiometrin əks-əlaqə zəncirindən ayrılması ilə fəaliyyət göstərir. Bu halda giriş PWM siqnalı (\(u(t)\)) mühərrikin mövqeyini deyil, onun fırlanma sürətini (\(\omega(t)\)) idarə edir. Sabit cərəyan mühərrikinin elektromexaniki tənliklərinə əsasən, mühərrikin bucaq sürətinin giriş gərginliyinə (və ya PWM doluluq dərəcəsinə) olan nisbəti birinci tərtib dinamik manqa kimi model qəbul edir:

$$G_m(s) = \frac{\Omega(s)}{U(s)} = \frac{K_m}{\tau_m s + 1}$$

Burada K_m mühərrikin gücləndirmə (sürət) əmsalı, τ_m isə mühərrikin elektromexaniki zaman sabitidir. Mühərrikin çıxışındakı fırlanma bucağı $\theta(t)$ bucaq sürətinin inteqralı olduğundan

$\theta(t) = \int \omega(t)dt$, mövqeyə görə ötürmə funksiyası aşağıdakı inteqrallayıcı mexaniki sistem formasına düşür:

$$G_p(s) = \frac{\Omega(s)}{U(s)} = \frac{K_m}{s(\tau_m s + 1)}$$

Sisteminin Qapalı Dövrə Ötürmə Funksiyası

Mikronəzarətçi tərəfindən tətbiq edilən mütənasib (Proportional - (K_p) idarəetmə qanununu və sensor əmsalını nəzərə alsaq, sistemin düz istiqamətdəki ötürmə funksiyası ($G_{(s)}$ = K_p Ks G_p(s) olur. Vahid mənfi əks-əlaqəli (unity negative feedback) qapalı dövrə sisteminin tam ötürmə funksiyası (W(s)) aşağıdakı şəkildə formalaşır:

$$W(s) = \frac{G(s)}{1 + G(s)} = \frac{K_p K_s K_m}{\tau_m s^2 + s + K_p K_s K_m)}$$

Bu tənliyi standart ikinci tərtib sistem formasına (s^2 + 2$\zeta\omega_n$s + ω_n^2) gətirmək üçün hər tərəfi τ_m-ə bölsək:

$$W(s) = \frac{\frac{K_p K_s K_m}{\tau_m}}{s^2 + \left(\frac{1}{\tau_m}\right)s + \frac{K_p K_s K_m}{\tau_m}}$$

Burada $\omega_n = \sqrt{\frac{K_p K_s K_m}{\tau_m}}$ sistemin məxsusi rəqs tezliyini, $\zeta = \frac{1}{2\sqrt{K_p K_s K_m \, \tau_m}}$ isə sönmə əmsalını ifadə edir.

Stabillik Təhlili və Keçid Prosesinin Analizi

Sistemin xarici təsirlərə (məsələn, külək yükləri, buludlu hava şəraiti və s.) qarşı dayanıqlı işləməsi və hədəf nöqtə ətrafında xaotik rəqslər etməməsi üçün stabillik analizi aparılmalıdır. Analiz üçün sistemin xarakteristik tənliyi əsas götürülür.

Routh-Hurwitz Meyarının Tətbiqi

Qapalı dövrə sisteminin xarakteristik tənliyi ötürmə funksiyasının məxrəcinin sıfıra bərabər edilməsi ilə alınır:

$$A(s) = \tau_m s^2 + s + K_p K_s K_m = 0$$

Sistemin dayanıqlı olması üçün Routh-Hurwitz meyarına əsasən xarakteristik tənliyin bütün əmsalları müsbət olmalıdır. Konstruktiv olaraq mühərrikin zaman sabiti (τ_m > 0), sensor həssaslığı (K_s > 0) və mühərrik əmsalı (K_m > 0) həmişə müsbətdir. İdarəetmə strukturunun dayanıqlılıq şərti birbaşa tənzimləmə əmsalından (\(K_p) asılıdır:

$$K_p>0$$

İkinci tərtib sistemlər üçün Routh matrisi aşağıdakı kimi qurulur:

s^2	τ_m	$K_p K_s K_m$
s^1	**1**	**0**
s^0	$K_p K_s K_m$	

Matrisin birinci sütunundakı elementlərin ($\tau_m, 1, K_p K_s K_m$) hamısı müsbət olduğu üçün sistem bütün müsbət \(K_p) qiymətlərində struktur olaraq stabildir. LDR-lərin fiziki ölü zonası (deadband) və siqnal gecikmələri nəzərə alındıqda real dayanıqlılıq sərhədi 0 < K_p < K_{max}) diapazonu ilə məhdudlaşır.

Qütblərin Yerləşməsi və Dinamik Cavab

Sistemin qütbləri xarakteristik tənliyin kökləridir:

$$s_{1,2} = \frac{-1 \pm \sqrt{1 - 4\tau_m K_p K_s K_m}}{2\tau_m}$$

- **Eksperimental Şərt 1 (Kritik sönmə):** 1 - 4$\tau_m K_p K_s K_m$ = 0 olduqda, qütblər həqiqi ox üzərində üst-üstə düşür (ζ = 1). Sistem rəqssiz və ən qısa müddətdə günəşin mövqeyinə istiqamətlənir.
- **Eksperimental Şərt 2 (Aşağı sönmə):** 1 - 4$\tau_m K_p K_s K_m < 0$ olduqda, qütblər kompleks qoşma şəkildə olur (ζ < 1). Bu halda sistemdə yüngül ifrat tənzimləmə (overshoot) və keçid prosesində titrəmələr müşahidə olunur.

Ölü zona (deadband) alqoritmi daxil edildiyi üçün sistem yüngül buludlu havalarda sensorlardan gələn kiçik küy dalğalanmalarına reaksiya vermir, bu isə servo mühərriklərin lazımsız yerə mexaniki aşınmasının qarşısını alır və stasionar xətanı ($\in_{st}$) sıfıra yaxınlaşdırır.

Nəticə

Bu tədqiqat işində, 360° davamlı fırlanan servo mühərrik və dörd işıq sensoru (LDR) əsasında işləyən ağıllı ikioxlu günəş izləmə sisteminin konfiqurasiyası, aparat arxitekturası və riyazi idarəetmə modeli uğurla işlənib hazırlanmışdır. Aparılmış nəzəri və praktik təhlillər əsasında aşağıdakı yekun nəticələr əldə edilmişdir:

- Sistem daxilində tətbiq olunan dörd sensorlu gərginlik bölücü sxem və ATMega328 mikronəzarətçisinin 10 bitlik ADC modulu vasitəsilə günəşin mövqeyi real vaxt rejimində yüksək dəqiqliklə rəqəmsal siqnala çevrilmişdir.
- Sistemin diferensial tənliklər vasitəsilə qurulmuş qapalı dövrəli riyazi modeli onun ikinci tərtib dinamik sistem kimi davrandığını göstərmişdir. Routh-Hurwitz stabillik meyarı tətbiq edilərək mütənasib idarəetmə əmsalının (K_p) dayanıqlılıq şərtləri təyin edilmiş və sistemin struktur baxımından tam stabil olduğu sübut edilmişdir.
- Proqram təminatına inteqrasiya edilən ölü zona (deadband) alqoritmi kiçik atmosfer küyünün yaratdığı titrəmələri aradan qaldırmış, mühərriklərin mexaniki aşınmasını azaltmış və stasionar xətanı minimal səviyyədə saxlamışdır.

Yekun olaraq, təklif olunan sistem aşağı maya dəyəri, yüksək mexaniki çevikliyi və riyazi olaraq sübut olunmuş dayanıqlılığı ilə fotoqalvanik (PV) sistemlərin səmərəliliyinin artırılmasında, xüsusilə mobil platformalar və avtonom az güclü generator qurğuları üçün effektiv, etibarlı və tətbiqi sadə bir həll yolu təqdim edir.

ƏDƏBIYYAT

1. Raza, W., et al. (2018). "Renewable energy in the 21st century: A review." *Renewable and Sustainable Energy Reviews,* 82, 12-25.

2. Kabir, E., et al. (2018). "Solar energy: Potential and future prospects." *Renewable and Sustainable Energy Reviews*, 82, 894-900.
3. Jäger-Waldau, A. (2019). "Snapshot of Photovoltaics-February 2019." *EPJ Photovoltaics*, 10, 6.
4. Parida, B., et al. (2011). "A review of solar photovoltaic technologies." *Renewable and Sustainable Energy Reviews*, 15(1), 1625-1636.
5. Goetzberger, A., et al. (2003). "Photovoltaic cells: history, status and future." *Solar Energy Materials and Solar Cells*, 77(1), 1-14.
6. Shahsavari, A., & Akbari, M. (2018). "Potential of solar energy in developing countries for reducing CO2 emissions." *Renewable and Sustainable Energy Reviews*, 90, 275-291.
7. Chu, Y., & Meisen, P. (2011). "Review of solar energy technologies." *Global Energy Network Institute (GENI)*, 1-18.
8. Green, M.A. (2019). "Photovoltaic cell efficiency tables (version 53)." *Progress in Photovoltaics*, 27(1), 3-12.
9. Kannan, N., & Vakeesan, D. (2016). "Solar energy for the future world: A review." *Renewable and Sustainable Energy Reviews*, 62, 1092-1105.
10. Al-Rousan, N., et al. (2018). "Efficient single axis solar tracking system." *IEEE Access*, 6, 35109-35115.
11. Mousazadeh, H., et al. (2009). "A review of principle and of the solar-tracking systems." *Renewable and Sustainable Energy Reviews*, 13(2), 1800-1818.
12. Seme, S., et al. (2019). "Solar tracking systems: An overview of technologies, efficiencies, and costs." *Energies*, 12(11), 2211.

MODELİNG OF A FOUR-LİGHT-SENSOR TRACKİNG SYSTEM FOR A 360° CONTİNUOUS ROTATİON SERVO AND ENSURİNG CONTROL STABİLİTY

Aslanova Ayshen Ali Azerbaijan Technological University

ABSTRACT

Automatic tracking systems are widely used in modern robotics, solar energy systems, intelligent surveillance systems, and industrial automation. The main purpose of these systems is to optimally adjust the direction of an object or device based on information received from the external environment. In this article, a mathematical model of a light tracking system based on four light sensors (LDR) and controlled by a 360° continuous rotation servo motor is presented. Within the system, an error signal is generated using the difference in light intensity, and control of the servo motor is ensured.

In the scope of the study, the input–output relationships of the system were analyzed, a mathematical model was developed using differential equations, and a closed-loop control structure was established. To evaluate the stability of the servo system, the characteristic equation, pole placement, and the Routh–Hurwitz criterion were applied. The performed analysis showed that, with properly selected control parameters, the system exhibits high stability, a short transient response time, and minimal steady-state error.

The obtained results indicate that the proposed approach enables the development of high-precision tracking systems using low-cost components and can be considered an effective solution for applications such as automatic solar panel positioning.

Keywords: *light-dependent resistor (LDR) sensor, continuous rotation servo, Arduino Uno, photovoltaic (PV), mathematical modeling, automatic control.*

МОДЕЛИРОВАНИЕ СИСТЕМЫ СЛЕЖЕНИЯ С ЧЕТЫРЬМЯ СВЕТОВЫМИ ДАТЧИКАМИ ДЛЯ СЕРВОПРИВОДА С НЕПРЕРЫВНЫМ ВРАЩЕНИЕМ 360° И ОБЕСПЕЧЕНИЕ УСТОЙЧИВОСТИ УПРАВЛЕНИЯ

Асланова Айшен Али
Азербайджанский технологический университет

РЕЗЮМЕ

Системы автоматического слежения широко применяются в современной робототехнике, установках солнечной энергетики, интеллектуальных системах наблюдения и промышленной автоматизации. Основная цель таких систем заключается в оптимальной корректировке направления объекта или устройства на основе информации, поступающей из внешней среды. В данной статье представлен математический модель системы слежения за светом, основанной на четырёх датчиках освещённости (LDR) и управляемой сервомотором с возможностью непрерывного вращения на 360°. В системе формируется сигнал ошибки на основе разности интенсивности света, который используется для управления сервомотором.

В рамках исследования были проанализированы входно-выходные зависимости системы, построена математическая модель с использованием дифференциальных уравнений и разработана структура замкнутой системы управления. Для оценки устойчивости сервосистемы применялись характеристическое уравнение, анализ расположения полюсов и критерий Рауса–Гурвица. Проведённый анализ показал, что при правильно подобранных параметрах управления система демонстрирует высокую устойчивость, малое время переходного процесса и минимальную статическую ошибку.

Полученные результаты свидетельствуют о том, что предложенный подход позволяет создавать высокоточные системы слежения с использованием недорогих компонентов и может быть эффективным решением для таких задач, как автоматическое позиционирование солнечных панелей.

Ключевые слова: *датчик фоторезистора (LDR), сервомотор непрерывного вращения, Arduino Uno, фотоэлектрические (PV) системы, математическое моделирование, автоматическое управление.*

Redaksiyaya daxilolma: 27.05.2026
Çapa qəbul olunma: 30.06.2026